

ГИБРИДНО-ФОНОННЫЙ РЕЗОНАНС В КВАЗИДВУМЕРНОЙ НАНОСТРУКТУРЕ

В. А. Маргулис

*Мордовский государственный университет им. Н. П. Огарева
430000, Саранск, Россия*

Поступила в редакцию 29 августа 1996 г.

Найден коэффициент поглощения электромагнитного излучения квазидвумерным электронным газом, помещенным в наклонное магнитное поле. Показано, что рассеяние электронов на оптических фононах приводит к резонансному поглощению. Изучена форма резонансных пиков на кривой поглощения и показано, что она носит дублетный характер. Исследована зависимость резонансных пиков от угла наклона магнитного поля к плоскости конфинмента.

1. ВВЕДЕНИЕ

Исследование внутризонных оптических переходов квазидвумерных электронов в наклонном магнитном поле дает важную информацию об энергетическом спектре носителей заряда и характере их взаимодействия с рассеивателями [1–3]. Обзор ранних работ в этом направлении содержится в монографии [4], а из более поздних отметим [5, 6]. Гибридизация электрического и магнитного квантования приводит в квазидвумерной наноструктуре к чисто дискретному энергетическому спектру электронов. В силу этого становится возможным резонансное поглощение электромагнитного излучения, обусловленное электронными переходами между двумя гибридными энергетическими уровнями. Для исследования этих переходов необходимо выбрать подходящую модель потенциала конфинмента квазидвумерного электронного газа в наноструктуре. В работах [7–9] для изучения эффектов, обусловленных наклонным магнитным полем \mathbf{B} , используется модель параболической ямы с потенциалом конфинмента $U = m^* \Omega^2 z^2 / 2$, где m^* — эффективная масса носителей заряда, Ω — частота потенциала, связанная с характерным размером конфинмента формулой $l = \sqrt{\hbar / m^* \Omega}$. Это обусловлено двумя важными обстоятельствами. Во-первых, гамильтониан одноэлектронных состояний в этой модели является квадратичным, и, следовательно, подходящим каноническим преобразованием фазового пространства его спектр сводится к сумме спектров двух гармонических осцилляторов, а собственные функции факторизуются в произведение осцилляторных функций [10]. При этом фактор заполнения этих состояний определяется кратностью вырождения гибридно-осцилляторных уровней и равен eB_z / \hbar , где B_z — перпендикулярная плоскости конфинмента компонента магнитного поля $\mathbf{B} = (B_x, 0, B_z)$. Во-вторых, в соответствии с обобщенной теоремой Ко-на [11] электрон-электронные взаимодействия не влияют в этом случае на электронные переходы.

В связи с тем, что спектр и волновые функции одноэлектронных состояний имеют простой аналитический вид, можно получить, как показано ниже, явные аналитические

формулы для коэффициента поглощения высокочастотного электромагнитного излучения.

Наличие в квазидвумерной наноструктуре рассеяния на фононах может приводить к процессу, в котором переход между электронными состояниями осуществляется при одновременном действии двух факторов, т. е. когда поглощение кванта высокочастотного поля $\hbar\omega$ сопровождается абсорбцией или эмиссией оптического фонона. Резонанс в поглощении, обусловленный процессами такого типа, ниже будем называть гибридно-фононным резонансом.

2. ЭНЕРГЕТИЧЕСКИЙ СПЕКТР И ВОЛНОВЫЕ ФУНКЦИИ

Энергетический спектр электрона в параболической яме, помещенной в наклонное магнитное поле, имеет вид [7]

$$\varepsilon_{\beta} = \hbar\omega_1 \left(n + \frac{1}{2} \right) + \hbar\omega_2 \left(m + \frac{1}{2} \right), \quad n, m = 0, 1, \dots, \quad (1)$$

где гибридные частоты равны [8]

$$\omega_{1,2}^2 = \frac{\omega_c^2 + \Omega^2}{2} \pm \sqrt{\frac{(\omega_c^2 + \Omega^2)^2}{4} - \omega_c^2 \Omega^2 \cos^2 \theta_0},$$

θ_0 — угол наклона поля \mathbf{B} к плоскости конфайнмента. Соответствующие волновые функции в смешанном координатно-импульсном представлении описываются формулой

$$|\beta\rangle = \frac{1}{\sqrt{L_x}} \exp\left(\frac{ip_x x}{\hbar}\right) \varphi_n\left(\frac{u}{l_1}\right) \varphi_m\left(\frac{v}{l_2}\right), \quad (2)$$

где $\varphi_n(x)$ — осцилляторные функции, L_x — нормировочный размер, $\beta = p_x, n, m$, гибридно-магнитные длины $l_{1,2} = \sqrt{\hbar/m^* \omega_{1,2}}$. Переменные u и v связаны с координатами и импульсами электронов соотношениями

$$u = (y - y_0) \cos \alpha - \frac{1}{m^* \Omega} (p_x - p_x^0),$$

$$v = (y - y_0) \sin \alpha + \frac{1}{m^* \Omega} (p_z - p_z^0), \quad (3)$$

где $p_z^0 = -m^* \omega_c y_0 \sin \theta_0$, $y_0 = -cp_x / eB \cos \alpha$, а угол α определяется соотношением [7]

$$\operatorname{tg} 2\alpha = \frac{2\omega_c \Omega \sin \theta_0}{\omega_c^2 - \Omega^2}. \quad (4)$$

Уровни гибридного квантования (1) размываются тепловым движением на величину T и столкновениями на величину \hbar/τ , определенную временем релаксации электронов τ . Ясно, что гибридно-фононный резонанс может наблюдаться только при условии, что все уровни хорошо разрешены, а частоты фотонов и фононов в достаточной степени монохроматичны.

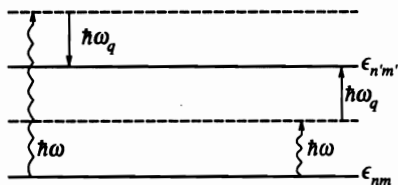


Рис. 1. Переходы, приводящие к резонансному поглощению во втором порядке теории возмущений

Поэтому будем далее считать фотонную частоту высокой ($\omega\tau \gg 1$), а гибридный конфайнмент достаточно сильным ($\omega_{1,2}\tau \gg 1$) и квантующим ($\hbar\omega_{1,2} \gg T$).

Фононная частота будет в достаточной степени монохроматичной, если взаимодействие происходит с длинноволновыми оптическими фононами. Характерные размеры изменения волновой функции электрона имеют тот же порядок, что и гибридно-магнитные длины $l_{1,2}$. Для реальных ситуаций в наноструктурах эти длины велики по сравнению с постоянной решетки, и, следовательно, взаимодействующие фононы будут длинноволновыми.

Рассмотрим теперь физическую природу явления гибридно-фононного резонанса. В отсутствие размерного конфайнмента по оси z движение вдоль магнитного поля является свободным и, следовательно, электронный спектр будет квазидискретным (уровни Ландау). Это обстоятельство, как хорошо известно, приводит к корневым сингулярностям в плотности начальных и конечных состояний, которые в свою очередь дают логарифмические сингулярности в циклотрон-фононном поглощении высокочастотного излучения [12–14].

Эта сингулярность размывается, если учесть столкновительную ширину уровня $\sim \hbar/\tau$ либо дисперсию оптических фононов.

В квазидвумерной наноструктуре физическая природа сингулярности иная. В нашем случае вероятность электронного перехода пропорциональна $\delta(\epsilon_{\beta} - \epsilon_{\beta'} + \hbar\omega \pm \hbar\omega_q)$, где $\epsilon_{\beta, \beta'}$ — энергии электронов, $\hbar\omega_q$ — энергия оптического фонона. Если пренебречь дисперсией оптических фононов, то содержащий этот множитель коэффициент поглощения $\Gamma(\omega)$ будет иметь (в силу дискретности спектра одно-электронных состояний) δ -образные сингулярности в точках, где частота фотона удовлетворяет условию

$$\hbar\omega_1(n - n') + \hbar\omega_2(m - m') + \hbar\omega \pm \hbar\omega_q = 0. \tag{5}$$

При учете дисперсии фононов, как показано ниже, эта сингулярность размывается, а пики поглощения раздваиваются, и в точке сингулярности поглощение становится равным нулю.

Возможные типы электронных переходов показаны на рис. 1.

3. ОБЩЕЕ ВЫРАЖЕНИЕ ДЛЯ КОЭФФИЦИЕНТА ПОГЛОЩЕНИЯ

Используя подход, основанный на методе, предложенном Фрелихом [15] и рассмотренном для переходов в магнитном поле в работе Басса и Левинсона [12], можно найти коэффициент поглощения, применяя обычную теорию возмущений для взаимодействия электронов с высокочастотным полем H_R и решеткой H_L , которые включаются

одновременно. Изображенные на рис. 1 переходы возникают во втором порядке теории возмущений по $H_R + H_L$.

Энергия невзаимодействующих электронов, фотонов и фононов в наноструктуре описывается гамильтонианом

$$H_0 = \sum_{\beta} \epsilon_{\beta} a_{\beta}^{\dagger} a_{\beta} + \sum_{\Gamma} \hbar \omega_{\Gamma} b_{\Gamma}^{\dagger} b_{\Gamma} + \sum_{\mathbf{q}} \hbar \omega_{\mathbf{q}} c_{\mathbf{q}}^{\dagger} c_{\mathbf{q}}, \quad (6)$$

где a_{β}^{\dagger} (a_{β}), b_{Γ}^{\dagger} (b_{Γ}) и $c_{\mathbf{q}}^{\dagger}$ ($c_{\mathbf{q}}$) — операторы рождения (уничтожения) соответственно электронов, фотонов и фононов. Матричные элементы переходов, показанных на рис. 1, можно записать, следуя [12], в виде

$$\begin{aligned} \langle \alpha | H | \alpha' \rangle = & \sum_{\beta''} \frac{\langle \beta, 0 | H_R | \beta'', -\mathbf{f} \rangle \langle \beta'', 0 | H_L | \beta', \pm \mathbf{q} \rangle}{\epsilon_{\beta} - \epsilon_{\beta''} + \hbar \omega} + \\ & + \sum_{\beta''} \frac{\langle \beta, 0 | H_L | \beta'', \pm \mathbf{q} \rangle \langle \beta'', 0 | H_R | \beta', -\mathbf{f} \rangle}{\epsilon_{\beta'} - \epsilon_{\beta''} - \hbar \omega}. \end{aligned} \quad (7)$$

В (7) начальное состояние $|\alpha\rangle = |\beta, \dots, N_{\Gamma}, \dots, N_{\mathbf{q}}, \dots\rangle \equiv |\beta, 0, 0\rangle$, а конечное $|\alpha'\rangle = |\beta', \dots, N_{\Gamma} - 1, \dots, N_{\mathbf{q}} \pm 1, \dots\rangle \equiv |\beta', -\mathbf{f}, \pm \mathbf{q}\rangle$. Тогда коэффициент поглощения удобно представить в виде, аналогичном [12]:

$$\Gamma(\omega) = \bar{\Gamma}^+(\omega) + \bar{\Gamma}^-(\omega),$$

где $\bar{\Gamma}$ означает тепловое усреднение по начальным состояниям фононов, а

$$\begin{aligned} \Gamma^{(\pm)}(\omega) = & \frac{2\pi\sqrt{\varepsilon(\omega)}}{c\hbar N_{\Gamma}} \left(1 - e^{-\hbar\omega/T}\right) \sum_{\beta, \beta', \mathbf{q}} f_0(\epsilon_{\beta}) \times \\ & \times |\langle -\mathbf{f}, \pm \mathbf{q}, \beta' | V | 0, 0, \beta \rangle|^2 \delta(\epsilon_{\beta} - \epsilon_{\beta'} \mp \hbar\omega_{\mathbf{q}} + \hbar\omega), \end{aligned} \quad (8)$$

где $\varepsilon(\omega)$ — вещественная часть диэлектрической проницаемости, для которой в рассматриваемой области частот по предположению отсутствует дисперсия, c — скорость света в вакууме, N_{Γ} — число фотонов в начальном состоянии с частотой $\omega = cf/\sqrt{\varepsilon(\omega)}$, функция распределения электронов для невырожденного газа

$$f_0(\epsilon_{\beta}) = \frac{8\pi\hbar n_0 L_z}{m^* \omega_c \cos \theta_0} \operatorname{sh} \frac{\hbar\omega_1}{2T} \operatorname{sh} \frac{\hbar\omega_2}{2T} \exp\left(-\frac{\epsilon_{\beta}}{T}\right),$$

n_0 — концентрация электронов, L_z — нормировочная длина. В (8) введен матричный элемент

$$\begin{aligned} \langle V \rangle = & \sum_{\beta''} \frac{\langle \beta', 0 | H_R | \beta'', -\mathbf{f} \rangle \langle \beta'', 0 | h_L | \beta, \pm \mathbf{q} \rangle}{\epsilon_{\beta} - \epsilon_{\beta''} + \hbar \omega} + \\ & + \sum_{\beta''} \frac{\langle \beta, 0 | h_L | \beta'', \pm \mathbf{q} \rangle \langle \beta'', 0 | H_R | \beta', -\mathbf{f} \rangle}{\epsilon_{\beta'} - \epsilon_{\beta''} - \hbar \omega}. \end{aligned} \quad (9)$$

Взаимодействие с решеткой

$$H_L = \sum_{\mathbf{q}} h_L(\mathbf{q}),$$

где

$$h_L(\mathbf{q}) = D_q c_q e^{i\mathbf{q}\mathbf{r}} + \text{с.с.},$$

D_q — константа электрон-фононного взаимодействия.

Взаимодействия с высокочастотным полем H_R запишем в виде [12]

$$H_R = \frac{e}{m^*} \sqrt{\frac{2\pi\hbar}{\varepsilon(\omega)\omega V}} b_{\mathbf{r}} \mathbf{e}_{\mathbf{r}} \mathbf{P}. \quad (10)$$

Здесь V — нормировочный объем, \mathbf{P} — обобщенный импульс в постоянном магнитном поле:

$$\mathbf{P} = \mathbf{p} + \frac{e}{c} \mathbf{A}, \quad \mathbf{A} = \left(\frac{eB_z}{c} y, 0, -\frac{eB_z}{c} y \right).$$

Далее будем вычислять поглощение для линейной поляризации и выберем вектор поляризации $\mathbf{e}_{\mathbf{r}}$ по оси y . Тогда

$$H_R = \frac{e}{m^*} \sqrt{\frac{2\pi\hbar}{\varepsilon(\omega)\omega V}} b_{\mathbf{r}} p_y. \quad (11)$$

Ниже при вычислении матричных элементов H_R поле высокочастотного взаимодействия будет предполагаться однородным. Для этого необходимо, чтобы длина волны фотона $\lambda \gg l_{1,2}$, что накладывает ограничения на гибридно-осцилляторные частоты $\omega_{1,2}$. При выполнении этого условия электрон-фотонные переходы будут дипольными и, следовательно,

$$\langle \beta, 0 | H_R | \beta', -\mathbf{f} \rangle = \frac{e}{m^*} \sqrt{\frac{2\pi\hbar N_{\mathbf{r}}}{\varepsilon(\omega)\omega V}} \langle \beta | p_y | \beta' \rangle. \quad (12)$$

4. ФОРМУЛЫ ДЛЯ МАТРИЧНЫХ ЭЛЕМЕНТОВ

Поскольку одноэлектронные состояния $|\beta\rangle$ определены в смешанном координатно-импульсном представлении, для вычисления матричных элементов (12) необходимо записать оператор p_y в том же представлении. Используя (3), получим

$$p_y = \cos \alpha \frac{\partial}{\partial u} + \sin \alpha \frac{\partial}{\partial v}. \quad (13)$$

Подставляя (13) в (12), после несложных преобразований получаем

$$\begin{aligned} \langle \beta, 0 | H_R | \beta', -\mathbf{f} \rangle &= \frac{ie\hbar}{m^* l_1 l_2} \sqrt{\frac{\pi\hbar N_{\mathbf{r}}}{\varepsilon(\omega)\omega V}} \delta(k'_x, k_x) \times \\ &\times \left\{ l_2 \delta(m', m) \cos \alpha \left[\sqrt{n} \delta(n', n-1) - \sqrt{n+1} \delta(n', n+1) \right] + l_1 \delta(n', n) \sin \alpha \times \right. \\ &\times \left. \left[\sqrt{m} \delta(m', m-1) - \sqrt{m+1} \delta(m', m+1) \right] \right\}. \quad (14) \end{aligned}$$

После интегрирования по переменной z матричные элементы электрон-фононного взаимодействия запишутся в виде

$$(\pm \mathbf{q}, \beta' | h_L | 0, \beta) = D_{\mathbf{q}} \sqrt{N_{\mathbf{q}} + \frac{1}{2} \pm \frac{1}{2} \delta(k'_x, k_x \pm q_x)} \times \\ \times \langle n', m' | \exp [i(q_y y + q_z z)] | n, m \rangle. \quad (15)$$

Для нахождения матричного элемента в правой части выражения (15) запишем экспоненту в смешанном координатно-импульсном представлении:

$$\exp [i(q_y y + q_z z)] = \exp [iq_y(u \cos \alpha + v \sin \alpha + y_0)] \exp \left[q_z l^2 \left(\sin \alpha \frac{\partial}{\partial u} - \cos \alpha \frac{\partial}{\partial v} \right) \right]. \quad (16)$$

Введем обобщенные импульсы p_u и p_v , канонически сопряженные с u и v . Тогда

$$p_u = \frac{\hbar}{i} \frac{\partial}{\partial u}, \quad p_v = \frac{\hbar}{i} \frac{\partial}{\partial v}$$

и второй экспоненциальный множитель в (16) примет вид $\exp[iq_z l^2(p_u \sin \alpha - p_v \cos \alpha)]$. Воспользуемся соотношением

$$\exp \left(\frac{ia}{\hbar} p_u \right) \varphi_n \left(\frac{u}{l_1} \right) = \varphi_n \left(\frac{u+a}{l_1} \right), \quad (17)$$

которое следует из того, что экспоненциальный оператор является генератором группы трансляций.

Из формул (16) и (17) нетрудно получить матричные элементы

$$\langle n', m' | \exp [i(q_y y + q_z z)] | n, m \rangle = \\ = \exp(iq_y y_0) \left\langle \varphi_{n'} \left(\frac{u}{l_1} \right) \left| \exp(iq_y u \cos \alpha) \right| \varphi_n \left(\frac{u + l^2 q_z \sin \alpha}{l_1} \right) \right\rangle \times \\ \times \left\langle \varphi_{m'} \left(\frac{v}{l_2} \right) \left| \exp(iq_y v \sin \alpha) \right| \varphi_m \left(\frac{v - l^2 q_z \cos \alpha}{l_2} \right) \right\rangle. \quad (18)$$

Введем вместо проекций фононного волнового вектора безразмерные величины

$$g_y = \frac{l_1 q_y}{\sqrt{2}} \cos \alpha, \quad g_z = \frac{l^2 q_z}{\sqrt{2} l_1} \sin \alpha, \\ d_y = \frac{l_2 q_y}{\sqrt{2}} \cos \alpha, \quad d_z = \frac{l^2 q_z}{\sqrt{2} l_2} \sin \alpha. \quad (19)$$

После простых, но громоздких преобразований, вычисляя интегралы с осцилляторными функциями, входящие в (18), получим

$$\langle n', m' | \exp [i(q_y y + q_z z)] | n, m \rangle = \sqrt{\frac{m'! n'!}{m! n!}} (-1)^{n+m-n'-m'} g^{n-n'} d^{m-m'} \times \\ \times \exp \left(iq_y y_0 - \frac{d^2 + g^2}{2} \right) \exp (i [\varphi(n - n') + \psi(m - m')]) L_{n'}^{n-n'}(g^2) L_{m'}^{m-m'}(d^2), \quad (20)$$

где $\text{tg } \varphi = g_y/g_z$, а $\text{tg } \psi = d_y/d_z$, $d^2 = d_y^2 + d_z^2$, $g^2 = g_y^2 + g_z^2$, $L_N^{N'}$ — обобщенные полиномы Лагерра.

Введем обозначение

$$\langle n', m' | \exp [i(q_y y + q_z z)] | n, m \rangle = \exp(iq_y y_0) J(n', m', n, m). \quad (21)$$

Тогда, используя (9), (4), (15) и (21), можно получить

$$\begin{aligned} \langle -\mathbf{f}, \pm \mathbf{q}, \beta' | V | 0, 0, \beta \rangle &= \frac{i e \hbar}{m^* l_1 l_2} \sqrt{\frac{\pi \hbar N_f (N_q + 1/2 \pm 1/2)}{\omega \varepsilon(\omega) V}} D_q \delta(k_x, k' \pm q_x) \times \\ &\times \left\{ \frac{l_2 \sqrt{n+1} \cos \alpha}{\hbar(\omega - \omega_1)} J(n+1, m; n', m') - \frac{l_2 \sqrt{n} \cos \alpha}{\hbar(\omega + \omega_1)} J(n-1, m; n', m') + \right. \\ &+ \frac{l_1 \sqrt{m+1} \sin \alpha}{\hbar(\omega - \omega_2)} J(n, m+1; n', m') - \frac{l_1 \sqrt{m} \sin \alpha}{\hbar(\omega + \omega_2)} J(n, m-1; n', m') - \\ &- \frac{l_2 \sqrt{n'} \cos \alpha}{\hbar(\omega - \omega_1)} J(n, m; n'-1, m') + \frac{l_2 \sqrt{n'+1} \cos \alpha}{\hbar(\omega + \omega_1)} J(n, m; n'+1, m') - \\ &\left. - \frac{l_1 \sqrt{m'} \sin \alpha}{\hbar(\omega - \omega_2)} J(n, m; n', m'-1) + \frac{l_1 \sqrt{m'+1} \cos \alpha}{\hbar(\omega + \omega_2)} J(n, m; n', m'+1) \right\} \exp(iq_y y_0). \quad (22) \end{aligned}$$

С помощью (20) и (21) преобразуем (22) к виду

$$\begin{aligned} \langle -\mathbf{f}, \pm \mathbf{q}, \beta' | V | 0, 0, \beta \rangle &= -\frac{i e \hbar}{m^* l_1 l_2} \sqrt{\frac{\pi \hbar N_f (N_q + 1/2 \pm 1/2)}{\omega \varepsilon(\omega) V}} D_q A(\omega) \times \\ &\times \exp(iq_y y_0) \delta(k_x, k'_x \pm q_x) J_{nn'}(g^2) J_{mm'}(d^2), \quad (23) \end{aligned}$$

где

$$\begin{aligned} J_{nn'}(x^2) &= \frac{n!}{n'} x^{n-n'} \exp\left(-\frac{x^2}{2}\right) \exp\left(-\frac{1}{2} i q_y q_z l^2 \sin \alpha \cos \alpha\right) \times \\ &\times (-1)^{n-n'} \exp[i\varphi(n'-n)] L_{n'-n}^{n-n'}(x^2), \quad (24) \end{aligned}$$

$J_{mm'}(x)$ отличается от (24) заменой $\varphi \rightarrow \psi$. Частотный множитель

$$A(\omega) = g l_2 \cos \alpha \left(\frac{e^{-i\varphi}}{\omega_1 - \omega} + \frac{e^{i\varphi}}{\omega_1 + \omega} \right) + d l_1 \sin \alpha \left(\frac{e^{i\psi}}{\omega_2 - \omega} - \frac{e^{-i\psi}}{\omega_2 + \omega} \right). \quad (25)$$

Из (25) можно получить

$$|A(\omega)|^2 = 2 [a(\omega)q_z^2 + b(\omega)q_y^2], \quad (26)$$

где

$$\begin{aligned} a(\omega) &= \frac{l^4}{l_1^2 l_2^2} \frac{\omega_2^2 - \Omega^2}{\omega_2^2 - \omega_1^2} \left(\frac{\omega_1 l_2^2}{\omega_1^2 - \omega^2} \sqrt{\frac{\omega_1^2 - \Omega^2}{\omega_1^2 - \omega_2^2}} + \frac{\omega_2 l_1^2}{\omega_2^2 - \omega^2} \sqrt{\frac{\omega_2^2 - \Omega^2}{\omega_2^2 - \omega_1^2}} \right)^2, \\ b(\omega) &= \omega^2 l_1^2 l_2^2 \frac{\omega_1^2 - \Omega^2}{\omega_1^2 - \omega_2^2} \left(\frac{1}{\omega_1^2 - \omega^2} \sqrt{\frac{\omega_1^2 - \Omega^2}{\omega_1^2 - \omega_2^2}} + \frac{1}{\omega_2^2 - \omega^2} \sqrt{\frac{\omega_2^2 - \Omega^2}{\omega_2^2 - \omega_1^2}} \right)^2. \quad (27) \end{aligned}$$

При получении (27) использованы соотношения

$$\cos^2 \alpha = \frac{\omega_1^2 - \Omega^2}{\omega_1^2 - \omega_2^2}, \quad \sin^2 \alpha = \frac{\omega_2^2 - \Omega^2}{\omega_2^2 - \omega_1^2}.$$

5. ХАРАКТЕРИСТИКИ ПИКОВ РЕЗОНАНСНОГО ПОГЛОЩЕНИЯ

Введем парциальные коэффициенты поглощения по формуле

$$\Gamma^{(\pm)}(\omega) = \sum_{n,m,n',m'=0}^{\infty} \bar{\Gamma}^{(\pm)}(n, m; n', m'), \quad (28)$$

а также величину

$$\Delta\omega = \omega_1(n - n') + \omega_2(m - m') + \omega \mp \omega_q. \quad (29)$$

Из результатов предыдущего раздела после суммирования по k_x получим выражение

$$\begin{aligned} \bar{\Gamma}^{(\pm)}(n, m; n', m') &= \frac{e^2 \omega_c \cos \theta_0}{m^* c \hbar^2 l_1^2 l_2^2 \omega L_z \sqrt{\varepsilon(\omega)}} (1 - e^{-\hbar\omega/T}) \sum_{\mathbf{q}} |D_{\mathbf{q}}|^2 \left(\frac{n'! m'!}{n! m!} \right) \times \\ &\times |A(\omega)|^2 d^{2(m-m')} g^{2(n-n')} e^{-d^2 - g^2} \left[L_{n'}^{n-n'}(g^2) L_m^{m-m'}(d^2) \right]^2 \times \\ &\times (N_T + 1/2 \pm 1/2) \delta(\Delta\omega) f_0(\varepsilon_\beta), \end{aligned} \quad (30)$$

где N_T — функция распределения Планка, которая получается при тепловом усреднении по фононным состояниям.

Из (30) видно, что в пренебрежении дисперсией оптических фононов ($\omega_q = \omega_0$) парциальные коэффициенты $\Gamma^{(\pm)}(n, m; n', m')$ имеют δ -образные сингулярности в точках, где расстройка резонанса $\Delta\omega = 0$. Учтем теперь слабую дисперсию фононов. Для длинноволновых фононов будем считать закон дисперсии параболическим: $\omega_q = \omega_0(1 - \omega_0^{-2} v_s^2 q^2)$, где ω_0 — предельная частота оптических фононов, v_s — скорость звука [13]. В этом случае интеграл по $|\mathbf{q}|$, входящий в (30), сворачивается благодаря δ -функции, имеющей вид $\delta(\Delta\omega \pm \omega_0^{-1} v_s^2 q^2)$. Константа электрон-фононной связи для PO - и DO -фононов имеет вид [12]

$$|D_{\mathbf{q}}|^2 = \frac{2\pi \hbar^2 \alpha_L \omega_0}{m^* V} \begin{cases} \sqrt{2m^* \hbar \omega_0} / q^2 & \text{для } PO\text{-фононов,} \\ 4\hbar^2 / \sqrt{2m^* \hbar \omega_0} & \text{для } DO\text{-фононов.} \end{cases} \quad (31)$$

Тогда для $\Gamma_{DO}^{(\pm)}(n, m; n', m')$ получим

$$\begin{aligned} \Gamma_{DO}^{(\pm)}(n, m; n', m') &= \frac{2e^2 n_0 (N_0 + 1/2 \pm 1/2) (1 - e^{-\hbar\omega/T}) \hbar \omega_0^3 (\Delta\omega)^{3/2} \omega_c \Omega}{\pi c \omega m^* v_s^3 \sqrt{2m^* \hbar \varepsilon(\omega)}} \times \\ &\times \operatorname{sh} \frac{\hbar \omega_1}{2T} \operatorname{sh} \frac{\hbar \omega_2}{2T} \exp \left[-\frac{\omega_1(n+1/2) + \hbar \omega_2(m+1/2)}{T} \right] \Phi(n, m; n', m'). \end{aligned} \quad (32)$$

Здесь α_L — безразмерная константа связи электронов с решеткой, $N_0 = (e^{\hbar\omega_0/T} - 1)^{-1}$, интеграл по углам

$$\Phi(n, m, n', m') = \frac{n!m!}{n'm!} \int_0^{2\pi} d\varphi \int_0^\pi \sin \vartheta d\vartheta (a \cos^2 \vartheta + b \sin^2 \vartheta \sin^2 \varphi) x_1^{n-n'} \times \\ \times x_2^{m-m'} e^{-x_1-x_2} \left[L_{n'}^{n-n'}(x_1) L_{m'}^{m-m'}(x_2) \right]^2, \tag{33}$$

где

$$x_{1,2} = \frac{1}{2} \frac{\omega_0 |\Delta\omega|}{l_{1,2}^2 v_s^2} \left(\frac{\omega_1^2 - \Omega^2}{\omega_1^2 - \omega_2^2} l_{1,2}^4 \sin^2 \vartheta \sin^2 \varphi + \frac{\omega_2^2 - \Omega^2}{\omega_2^2 - \omega_1^2} l_{1,2}^4 \cos^2 \vartheta \right). \tag{34}$$

Парциальный коэффициент поглощения

$$\Gamma_{PO}^{(\pm)}(n, m, n', m') = \frac{(mv_s)^2}{2\hbar|\Delta\omega|} \Gamma_{DO}(n, m, n', m').$$

Максимумы на кривых $\Gamma(n, m, n', m')$, очевидно, обусловлены максимумами $\Phi(n, m, n', m')$. Рассмотрим переходы из основного состояния ($n = m = 0$). Как следует из (33), в этом случае подынтегральная функция в выражении для $\Phi(0, 0, n', m')$ имеет вид $(\Delta\omega)^{n'+m'} \exp[-f(\vartheta, \varphi)\Delta\omega]$. Эта функция при малых значениях $\Delta\omega$ растет как степенная, а затем экспоненциально убывает.

Если учесть размытие гибридно-осцилляционных уровней за счет столкновений, то $\Gamma(\Delta\omega)$ нужно заменить на $\text{Re}\Gamma(\Delta\omega + i\gamma)$, где величина столкновительного размытия $\gamma = \tau^{-1}$. При пренебрежении дисперсией оптического фонона учет этого размытия особенно прост. Необходимо δ -функцию в (8) заменить на лоренцевскую кривую $\pi\tau/[1 + \tau^2(\Delta\omega)^2]$. В этом случае $\Gamma(\Delta\omega)$ имеет δ -образные пики типа всплесков с полушириной равной τ^{-1} .

6. РЕЗУЛЬТАТЫ ЧИСЛЕННОГО АНАЛИЗА

Проведем более подробное исследование коэффициента поглощения. Ограничимся далее только ультраквантовым случаем, когда переходы идут из основного состояния системы. Из полученных выше аналитических выражений для парциальных коэффициентов поглощения $\Gamma^{(\pm)}(0, 0, n, m)$ следует, что в точке, где частота электромагнитного излучения удовлетворяет условию $\Delta\omega = 0$, эти коэффициенты обращаются в нуль. В малой окрестности этой точки $\Phi(0, 0, n, m)$ как функция $\Delta\omega$ имеет два симметрично расположенных острых максимума слева и справа от этой точки, а следовательно, и $\Gamma^{(\pm)}(0, 0, n, m)$ будет иметь такие же максимумы вблизи этой точки, т.е. парциальные пики поглощения будут иметь дублетную структуру. Отметим, кроме того, что экспоненциальный характер зависимости парциальных коэффициентов поглощения от номеров n и m гибридно-осцилляторных уровней дает сильное уменьшение величины парциального поглощения с ростом номеров этих уровней.

Ввиду сложности аналитических зависимостей в (32)–(34) для более детальной характеристики пиков поглощения необходимо провести численное исследование зависимости $\Gamma^{(\pm)}(0, 0, n, m)$ от частоты излучения, магнитного поля и угла его наклона к плоскости конфинмента.

На рис. 2–5 показаны полученные с помощью численного интегрирования в (32)–(34) графики зависимостей нескольких первых парциальных коэффициентов поглощения от частоты излучения ω для DO - и PO -фононов. При построении этих графиков

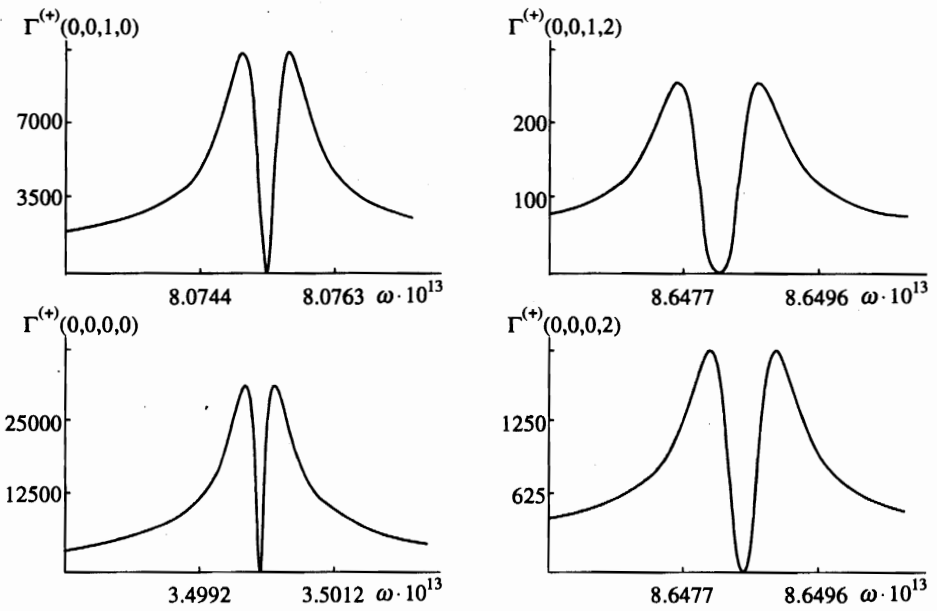


Рис. 2. Парциальные коэффициенты поглощения при эмиссии DO -фононов; $\theta_0 = 30^\circ$

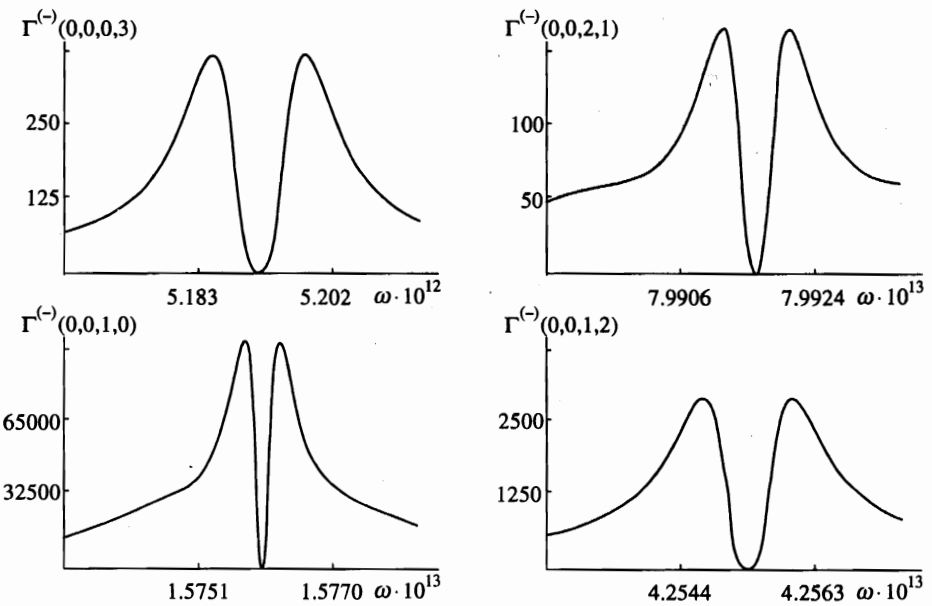


Рис. 3. Парциальные коэффициенты поглощения при абсорбции DO -фононов; $\theta_0 = 60^\circ$

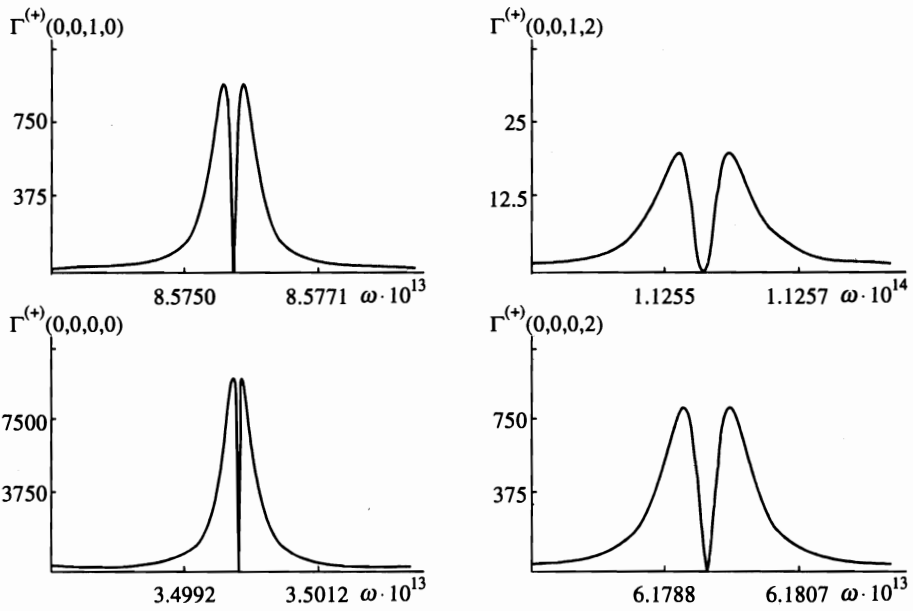


Рис. 4. Парциальные коэффициенты поглощения при эмиссии *PO*-фононов; $\theta_0 = 60^\circ$

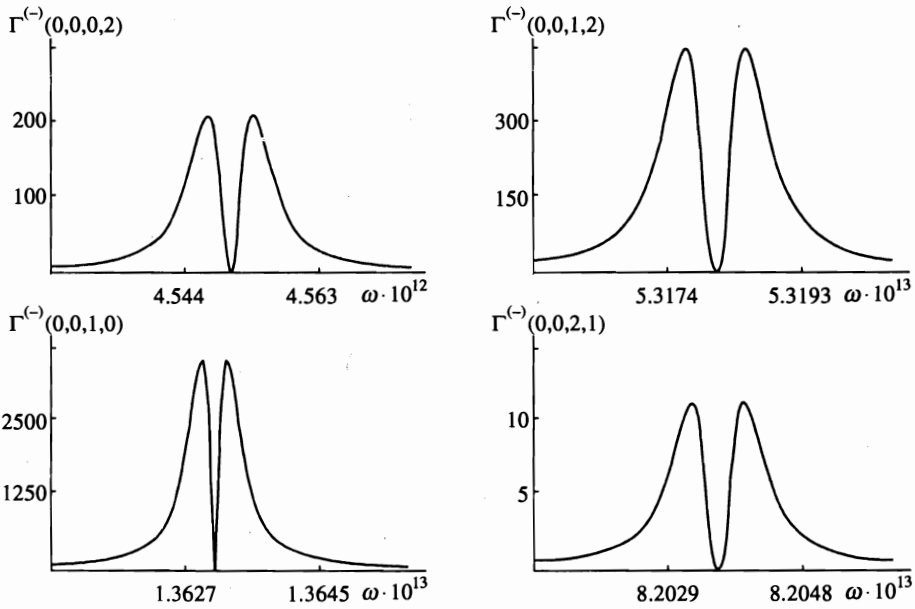


Рис. 5. Парциальные коэффициенты поглощения при абсорбции *PO*-фононов; $\theta_0 = 45^\circ$

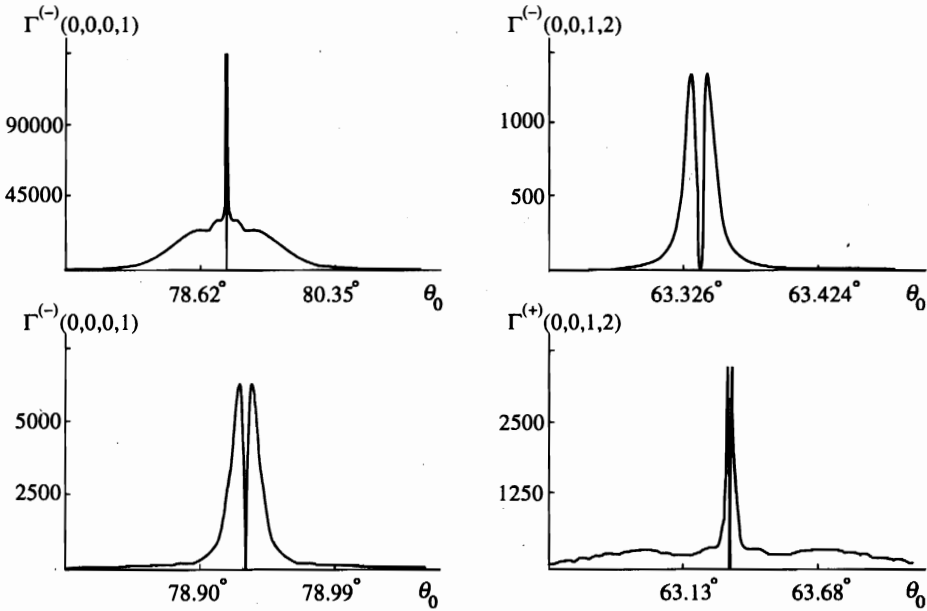


Рис. 6. Зависимость парциальных коэффициентов поглощения от угла θ_0 при $\omega_c = 3.4 \cdot 10^{13} \text{ c}^{-1}$, $\omega = 4 \cdot 10^{13} \text{ c}^{-1}$, $T = 100 \text{ K}$

были использованы численные значения параметров InSb [12]: $\epsilon_0 = 17.5$, $\epsilon_\infty = 16$, $\omega_0 = 3.7 \cdot 10^{13} \text{ c}^{-1}$ при концентрации электронов $n = 10^{16} \text{ см}^{-3}$, температуре $T = 100 \text{ K}$ и $\omega_c = 3.4 \cdot 10^{13} \text{ c}^{-1}$. На этих рисунках показаны графики для разных значений угла наклона магнитного поля. На всех графиках ясно видна дублетная структура пика поглощения. Составляющие дублет пики на всех графиках имеют сходный асимметричный вид: относительно точки, где $\Delta\omega = 0$, левый пик имеет более пологий подъем, за которым следует почти вертикальный спад, а правый — наоборот.

Отметим, что расстояние между компонентами дублета по частоте ($\sim 10^9 \text{ c}^{-1}$) является малым по сравнению с характерными частотами ω_1 , ω_2 , Ω , ω_c и ω_0 в системе.

Зависимость парциальных коэффициентов от магнитного поля имеет вид, подобный показанному на рис. 2-5. При тех значениях поля B , для которых $\Delta\omega = 0$, поглощение обращается в нуль. Форма пиков $\Gamma^{(\pm)}(B)$ имеет такую же дублетную структуру, как и $\Gamma^{(\pm)}(\omega)$. Кроме величины поля B парциальные коэффициенты поглощения $\Gamma^{(\pm)}$ зависят от угла наклона магнитного поля θ_0 . Из рис. 2-5 видно, что амплитуда и поглощение пиков существенно зависят от величины θ_0 , однако общий ход кривых и, в частности, дублетный характер пиков остаются прежними. Зависимость парциальных коэффициентов поглощения от угла наклона поля \mathbf{B} к плоскости конфинмента показана на рис. 6. Видно, что зависимости $\Gamma^{(\pm)}(0, 0, n, m)$ от угла θ_0 имеют резонансный характер. Резонансные пики расположены симметрично относительно того значения угла θ_0 , при котором $\Delta\omega = 0$. В целом общий характер зависимости $\Gamma^{(\pm)}(\theta_0)$ тот же, что и для $\Gamma^{(\pm)}(\omega)$ или $\Gamma^{(\pm)}(B)$.

7. ОБСУЖДЕНИЕ РЕЗУЛЬТАТОВ

Пики поглощения в гибридно-фононном резонансе обусловлены правилами отбора для переходов во втором порядке теории возмущений и законом сохранения энергии при этих переходах. В пренебрежении дисперсией оптических фононов парциальные пики поглощения $\Gamma^{(\pm)}(n, m, n', m')$ имеют δ -образные сингулярности в точках, где $\Delta\omega = 0$. Учет дисперсии, вообще говоря, уширяет эти пики. Однако, кроме того, он приводит к интересному видоизменению кривой поглощения. Из результатов, полученных выше, следует, что в этом случае парциальные коэффициенты в поглощении $\Gamma(\omega)$ имеют два узких и острых пика слева и справа от точки, где $\Delta\omega = 0$, а в самой точке, где $\Delta\omega = 0$, поглощение равно нулю. Расстояние между пиками по частоте очень мало. Таким образом, дублетная структура появляется благодаря учету дисперсии фононов. Отметим также, что из численных результатов в предыдущем разделе следует, что составляющие дублета являются асимметричными. Ширины максимумов кривой $\Gamma(\omega)$ намного меньше характерных частот системы. Из рис. 2–5 следует, что отношение значения $\Gamma(\omega)$ в максимуме к значению на хвосте линии поглощения много больше единицы, поэтому в окрестности точек резонанса вклад практически дает только соответствующий парциальный коэффициент поглощения.

Отметим, что использованный метод расчета связан ограничением $\omega\tau \gg 1$ [16], где τ — время релаксации в системе, поэтому переход $\omega \rightarrow 0$ для получения статической проводимости в наклонном магнитном поле незаконен.

Частотные множители $a(\omega)$ и $b(\omega)$, входящие в коэффициент поглощения, имеют несущественные для изучения гибридно-фононного резонанса сингулярности в точках $\omega = \omega_1$ и $\omega = \omega_2$, поскольку эти сингулярности сдвинуты относительно точек, где $\Delta\omega = 0$, на частоту оптического фонона. Следовательно, эти сингулярности расположены в далекой области крыльев линий гибридно-фононного резонанса.

В рассматриваемой системе возможен также и некоторый аналог циклотронного резонанса, связанный с чисто электромагнитными переходами между уширенными рассеянием гибридно-осцилляторными уровнями.

Воспользуемся для нахождения величины поглощения тем же подходом, что и при расчете гибридно-фононного резонанса. Коэффициент поглощения в первом порядке теории возмущения вычислим по формуле

$$\Gamma(\omega) = \frac{2\pi\sqrt{\varepsilon(\omega)}}{c\hbar N_f} (1 - e^{-\hbar\omega/T}) \sum_{\beta\beta'} f_0(\varepsilon_\beta) |\langle \beta, 0 | H_R | \beta', -\mathbf{f} \rangle|^2 \delta(\varepsilon_\beta - \varepsilon_{\beta'} + \hbar\omega). \quad (35)$$

Используя (14), получим после суммирования

$$\Gamma(\omega) = \frac{2\pi^2 e^2 n_0}{cm^* \sqrt{\varepsilon(\omega)}} \frac{\omega^2 - \Omega^2}{\omega_1^2 - \omega_2^2} [\delta(\omega_1 - \omega) - \delta(\omega_2 - \omega)]. \quad (36)$$

Учтем нестационарность гибридно-осцилляторных уровней с помощью введения феноменологического параметра $1/\tau$ — полуширины пика поглощения, где τ — феноменологическое время релаксации. Тогда из (36) получим

$$\Gamma(\omega) = \frac{2\pi^3 e^2 n_0 \tau}{cm^* \sqrt{\varepsilon(\omega)}} \left[\frac{\omega_1^2 - \Omega^2}{\omega_1^2 - \omega_2^2} \frac{1}{1 + \tau^2(\omega - \omega_1)^2} + \frac{\omega_2^2 - \Omega^2}{\omega_2^2 - \omega_1^2} \frac{1}{1 + \tau^2(\omega - \omega_2)^2} \right]. \quad (37)$$

Описываемый формулой (37) резонанс в точках $\omega = \omega_{1,2}$ будем ниже называть гибридным резонансом. Так как гибридно-осцилляторные частоты $\omega_{1,2}$ являются функциями как величины, так и угла наклона магнитного поля, то положение пиков поглощения на кривой $\Gamma(\omega)$ также будет зависеть от этих параметров. Положение этих пиков сдвинуто минимум на частоту оптического фонона относительно пиков гибридно-фононного резонанса, и, следовательно, последние лежат в далекой области крыльев гибридного резонанса. Элементарные оценки, основанные на (37) и численных результатах разд. 6, дают на крыльях гибридного резонанса $\Gamma^{(\pm)}(0, 0, n, m) \gg \Gamma(\omega)$.

Из физической природы гибридно-фононного резонанса, отмеченной во Введении, ясно, что возникновение этого резонанса не должно зависеть от статистики электронов. Для аналитического описания формы кривой поглощения в вырожденном газе следует учесть принцип Паули для конечных состояний. Кроме того, при низких температурах число фононов N_T экспоненциально мало, $\sim \exp(-\hbar\omega_0/T)$, и в выражении для $\Gamma(\omega)$ можно учитывать только члены, обусловленные процессами с эмиссией фонона. С учетом этих обстоятельств формула (30) для вырожденного газа примет вид

$$\begin{aligned} \Gamma(n, m; n', m') &= \frac{e^2 \omega_c \cos \theta_0 (1 - e^{-\hbar\omega/T})}{m^* \hbar^2 \omega \sqrt{\varepsilon(\omega)} l_1 l_2 V} \frac{n! m!}{n'! m'!} \times \\ &\times \sum_q |D_q|^2 |A(\omega)|^2 d^{2(m-m')} g^{2(n-n')} e^{-d^2 - g^2} \left[L_{n'}^{n-n'}(g^2) L_{m'}^{m-m'}(d^2) \right]^2 \times \\ &\times (N_q^T + 1) \delta(\Delta\omega) f_0(\epsilon_\beta) [1 - f_0(\epsilon_{\beta'})], \end{aligned} \quad (38)$$

где $f_0(\epsilon_\beta)$ — функция Ферми, V — нормировочный объем, $\Delta\omega = \omega_1(n - n') + \omega_2(m - m') + \omega - \omega_q$. В предельном случае $T = 0$ функция распределения является ступенчатой, при этом электроны начальных состояний располагаются в интервале энергий $[\mu - \hbar\omega + \hbar\omega_q, \mu]$, а электроны конечных состояний — в интервале $[\mu, \mu + \hbar\omega - \hbar\omega_q]$. Отсюда следует, что парциальные вклады в поглощение дают только электроны с квантовыми числами осцилляторов, лежащими в соответствующих интервалах.

При сравнении (38) с результатами разд. 4 видно, что пики гибридно-фононного резонанса лежат в тех же точках и имеют ту же структуру, что и в невырожденном газе.

Рассмотренный выше резонанс должен наблюдаться на фоне решеточного поглощения TO -фононами. Последние, однако, дают в окрестности гибридно-фононного резонанса монотонный вклад, который можно исключить, используя выражение для коэффициента решеточного поглощения [12].

Отметим, наконец, что выполнение условия гибридного квантования $\hbar\omega_2 > T$ (так как $\omega_1 > \omega_2$) дает определенное ограничение для больших углов наклона поля [8]:

$$\cos^2 \theta_0 \gg \left(\frac{T}{\hbar\omega_2} \right)^2 \left(1 + \frac{\omega_c^2}{\Omega^2} \right).$$

Таким образом, для поля **B**, почти параллельного плоскости конфайнмента, полученные выше результаты перестают быть справедливыми.

Работа поддержана Российским фондом фундаментальных исследований и программой «Университеты России».

Литература

1. T. Ando, J. Phys. Soc. Jap. **44**, 765 (1978).
2. T. Ando, Phys. Rev. B **19**, 2106 (1979).
3. W. Beinvogl and J. F. Koch, Phys. Rev. Lett. **40**, 1736 (1978).
4. Т. Андо, А. Фаулер, Ф. Стерн, *Электронные свойства двумерных систем*, Мир, Москва (1985).
5. D. Huang, G. Gumbs, and N. Horing, Phys. Rev. B **49**, 11463 (1994).
6. C. T. Liu, K. Nakamura, and D. C. Tsui, Appl. Phys. Lett. **55**, 168 (1989).
7. R. Merlin, Sol. St. Comm. **64**, 99 (1987).
8. В. А. Гейлер, В. А. Маргулис, А. Г. Несмелов, И. И. Чучаев, ФТП **36**, 1994 (1994).
9. J. H. Oh, K. J. Chang, G. Jhm, and S. J. Lee, Phys. Rev. B **50**, 15397 (1994).
10. В. А. Гейлер, В. А. Маргулис, И. В. Чудаев, ЖЭТФ **109**, 762 (1996).
11. L. Brey, N. E. Johnson, and B. J. Halperin, Phys. Rev. B **40**, 10647 (1989).
12. Ф. Г. Басс, И. Б. Левинсон, ЖЭТФ **49**, 914 (1965).
13. Р. К. Баканас, Ф. Г. Басс, И. Б. Левинсон, ФТП **12**, 1457 (1978).
14. Р. К. Баканас, ФТП **12**, 3408 (1970).
15. H. Fröhlich, Adv. Phys. **3**, 325 (1954).
16. S. Visvanathan, Phys. Rev. **120**, 376 (1960).